



جمهورية العراق  
وزارة التعليم العالي والبحث العلمي  
جامعة القادسية / كلية علوم الحاسوب والرياضيات  
قسم الرياضيات الطبية

## نموذج رياضي لاستقلاب الجلوتاثيون

By: Michael C Reed\*<sup>1</sup>, Rachel L Thomas<sup>1</sup>, Jovana Pavisic<sup>1,2</sup>, S Jill James<sup>3</sup>,  
Cornelia M Ulrich<sup>4</sup> and H Frederik Nijhout<sup>2</sup>

بمُحَمَّدٌ مِنْ قِبَلِ الطَّالِبِينَ

حيدر كاظم محمود و اية صباح كريم

كجزء من متطلبات نيل شهادة البكالوريوس في علوم الرياضيات الطبية من كلية

علوم الحاسوب والرياضيات

بإشراف

الأستاذ المساعد الدكتور

ضياء غازي صالح

بِسْمِ اللَّهِ الرَّحْمَنِ الرَّحِيمِ

﴿أَقْرَأْ بِاسْمِ رَبِّكَ الَّذِي خَلَقَ (١) خَلَقَ الْإِنْسَانَ مِنْ عَلَقٍ (٢) اقْرَأْ

وَرَبُّكَ الْأَكْرَمُ (٣) الَّذِي عَلَّمَ بِالْقَلَمِ (٤)

عَلَّمَ الْإِنْسَانَ مَا لَمْ يَعْلَمْ (٥)﴾

صَدَقَ اللَّهُ الْعَلِيُّ الْعَظِيمُ

سورة العلق الآية (١-٥)

# الاهداء

إلى النور الذي ينير في درب النجم

أبي

ويا من علمتني الصمود مهما تبدلت الظروف

أمي

إلى القلوب الطاهرة الرقيقة والنفوس البرية إلى رباحين

حياتي

اخوتي

- ماهو الجلوتاثيون؟

- كيف يتم تصنيعه في الجسم؟

- وماهي فوائده؟

في هذا البحث سوف نقوم بدراسة الجلوتاثيون (GSH)...

وهو انزيم مهم في جسم الكائن الحي مسؤول عن الكثير من الاعراض في

جسم الكائن الحي حيث يؤدي الجلوتاثيون الى الشيخوخة

الزهايمر،

والأوعية الدموية،

يتم تصنيعه في الكبد طريق ترانزفورماتيون وتصديرها لتوفير

لتوليف GSH

في الفصل الأول ندرس خصائص الجلوتاثيون الفيزيائية والكيميائية

في الفصل الثاني ندرس دورات الجلوتاثين في الجسم

في الفصل الثالث ندرس بعض الامراض التي يسببها عجز الجلوتاثيون

## المقدمة

الجلوتاثيون (GSH) يلعب هاما في - - - - -  
يتم تصنيعه في - في - عن طريق - ترانزفورماتيون وتصديرها  
لتوفير السلائف لتوليف GSH - - قبل - . وقد يؤدي العجز  
في الجلوتاثيون - الشيوخة - من - بما في ذلك مرض الزهايمر،  
- باركنسون، - والأوعية الدموية، والسرطان، -

- - التمثيل - الجلوتاثيون في - عن طريق تجريب -  
رياضي من استقلاب احادي الكاربون مسار ترانسفولوفيراتيون، والتوليف  
الجلوتاثيون - والانهيار. ويستند هذا - على خصائص - من  
الانزيمات وتنظيم تلك الانزيمات عن طريق - نصف عمر  
الجلوتاثيون، وتنظيم تخليق الجلوتاثيون، وحساسيته - في - الأحماض  
الأمينية. نحن نستخدم نموذج لمحاكاة - الأيض - سابقا في -  
للبيانات السريرية.

نبين أحواض الجلوتاثيون في الخلايا الكبدية - غير حساسة - للتقلبات في  
- - الأمينية - تفسيراً يعتمد على تنبؤات - في المقابل،  
وتبين لنا حمامات الجلوتاثيون - - للغاية - الاكسدة. يظهر  
- الإفراط في التعبير عن الجينات على الكروموسوم وزيادة في -  
يمكن يفسر الملف الأيضي - . النمو أيضا يحاكي - صحيح  
الملف الأيضي للتوحد عند زيادة الاكسدة - كبير وتركيز الأدينوزين. وأخيراً،  
نناقش كيف ينشأ الاختلاف الفردي وعواقبه على استقلاب - من الكربون  
والجلوتاثيون.

## 1-1 الخلفية الخلايا

الجلوتاثيون هو قليل - الجزيئي - الببتيد (  $\gamma$ -السيستوسول حيث يوجد - المقام في شكل انخفاض (GSH) غلوتاميل-سيستينيل-جليكاين) - في عالية نسبيا كون- - حد أقل بكثير كما أكسيد ثنائي كبريتيد - شكل ( . - ملم) في جميع خلايا الثدييات - نسبة GSSG / GSH يوفر تركيزات منخفضة - حيوي ( - ميكرومتر) في البلازما. - من البيئة - الخلية. GSH هو manufac-

السيستوسول عملية خطوات:

الخطوة الأولى، التي تجمع بين السيستين والجلوتامات، وتحفزها  $\gamma$ glutamylcysteine سينثيتاس (GSH).

- الثانية، - تضيف بقايا الجلايسين، وتحفزها الجلوتاثيون سينثيتاس (GSH). يتم إنتاج الجلايسين الغلوتامات واستخدامها من قبل العديد من - الأيضية ولها تركيزات عالية نسبيا.

السيستين سيتوسوليك هو - من - الأمينية لتوليف GSH لأنه يحتوي على تركيز الجلايسين .

ويأتي السيستين سيتوسوليك :

( ) الميثيونين طريق الميثيونين ترانسفولوفيراتيون،

( ) الاستيراد الخلية

( ) هضم البروتين تخليق البروتين.

- فإن توافر السيستين ونشاط GCS هي المحددات الرئيسية للتوليف. يتم التعبير عن انزيم  $\beta$ -SYNTHASE (CBS) الذي يحفز - - في - ترانزلفوراتيون للغاية في خلايا - ليس - للغاية في الخلايا الطرفية، - ليس من - الكبد هو - الرئيسي - GSH والكثير من - يتم تصديرها إلى - - إنزيميا إلى سيستينيلجليسين والكيس (h) إين الذي يتم تناوله خلايا لتوليف GSH.

ويشارك الجلوتاثيون في العديد من - - تعتبر ضرورية للتوازن الطبيعي - الخلايا. فإنه يزيل السموم الزنوبويوتيكش والمعادن الثقيلة من خلال فعل يحفزها S-transferases GSH - تربطهم إلى sulfhydryl group على بقايا السيستي. GSH يلعب في تنظيم الدهون والجلوكوز، - الأحماض الأمينية لأنه ضروري لاستجابة - إلى - توعية الأنسولين. GSH ضروري إنثيركونفيرزيون من البروستاجلاندين. - الفورمالديهايد، وهو - -

- الأيض - يتطلب الجلوتاثيون، - الجلوتاثيون في تفعيل  
تليمفوسيت والمقاومة الفيروسية. وأخيرا، الجلوتاثيون يسكن أنواع الأكسجين التفاعلية  
بما في ذلك الفائق بيروكسيد الهيدروجين. في هذه - يتأكسد GSH إلى  
GSSG - [GSH] / [GSSG] وهو - على - للخلية، ومن  
تنظيم - في - الخلايا وخلايا موت  
الخلايا .

- فإنه ليس من المستغرب GSH ( - [GSH] / [GSSG] -  
رئيسيا في العديد من - بما في ذلك - والالتهاب - الزهايمر،  
مرض باركنسون، فقر - المنجلي، - الكبد، التليف الكيسي، الإيدز،  
والنوبات القلبية، - الدماغية، - [ ] - في الشيخوخة [ - ].  
- الأكسجين التفاعلية أيضا تسبب تشوهات خلقية في الفئران، والتي تمنعها  
GSH [ ] . لمزيد من المعلومات عن كيمياء الجلوتاثيون - الصحية، -  
[ - ] .

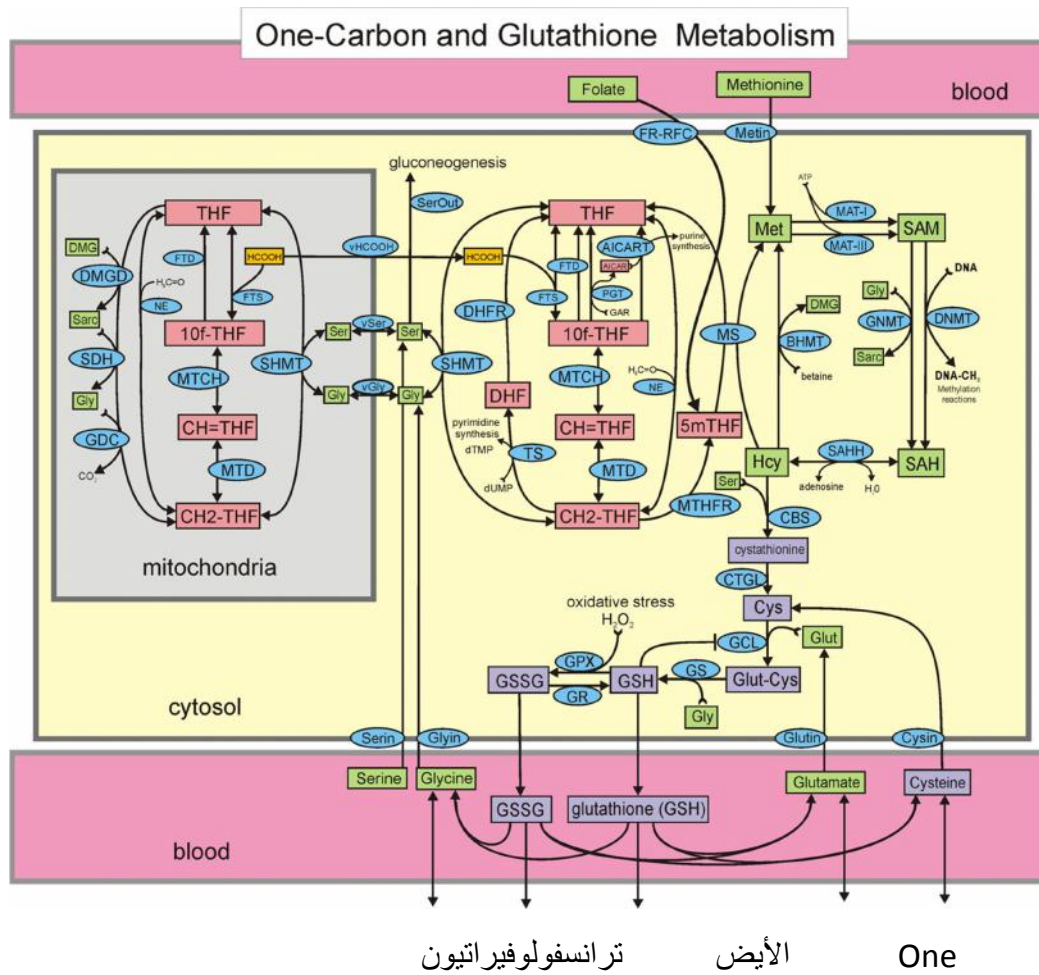
خلال - العديدة الماضية - رياضية - مختلفة من -  
الكربون - [ - ] . - الغرض من - على الأسئلة التي طرحتها  
التجارب التجريبيين والتحقيق في آليات التنظيم في عملية التمثيل -  
الكربون. في هذه الورقة، - - نموذج لدينا [ ] لتشمل السيستين  
والأيض الجلوتاثيون ( - ) . وبما هذا النموذج الرياضي - فمن  
المفيد - واضح لماذا يحتاج - كل - من عملية -  
الكربون وليس فقط - ترانسفولوفيراتيون. ميثيونين هو - كبدي رئيسي  
من السيستين من خلال الميثيونين - . ثانيا، يؤثر وضع الأكسدة  
للخلية على العديد من الإنزيمات في عملية استقلاب الكربون - بما في ذلك  
MATI, MATIII, MS, BHMT، وكذلك CBS and GCS في -  
الترانسفورماتيون، وبالتالي يمكن - تقييم عملية استقلاب GSH بدون تضمين  
الميثيونين حمض الفوليك. - - الذين يعانون من -  
- قد من الإجهاد - - اضطراب معين من -  
الكربون - [ - ] . نود نفهم كيف يمكن للإجهاد التأكسدي (والكروموسوم  
هذه التشوهات (

## 2-1

ويبين الشكل المسارات البيوكيميائية في النموذج الخلوي الكبدي المستخدم في هذه  
الورقة. صناديق مستطيلة تمثل - التي يمكن تختلف في - الحذف  
يحتوي على المختصرات من الإنزيمات - فعل معينة. هناك معادلة  
تفاضلية واحدة لكل ركيزة - - التغير في تركيز الركيزة هو -  
سرعات التفاعل (ميكرومتر / - ) التي تنتجها - مجموع - التفاعل -  
تستخدمها. - أسماء كاملة لجميع الإنزيمات - في ملف إضافي . -  
- غير محكم تكون ثابتة تشير إلى منتجات من - هذا -  
يمتد نموذج لأيض الكربون - في [ ] عن طريق إضافة مسار

ترانسفولوفيراتيون، وتركيب الجلوتاثيون، ونقلها إلى الدم. هنا نناقش - الرئيسية

- من - - للاهتمام من - احادي الكربون هو
  - ما - ليس فقط من قبل الركيزة وتركيز - وأنزيمات
  - أيضا من تركيزات ركائز في - بعيدة من - التفاعل -
  - كمنشطين مثبطات الانزيم، ونتيجة - فإن الصيغ - الفعل - ما
  - وظائف معقدة من العديد من المتغيرات. ويتضح ذلك جيدا من -
- : the CBS وهي



- الكربون - the transsulfuration pathway المستطيلات
- أسماء - - هي متغيرات - النموذج. - ليست -
- المستطيلات تقف - هي - - نحن - . السهام - الجزء
- السفلي من - - الاستيراد من - الهضمية والخلايا - والخسائر
- للخلايا - وتدهور. هناك معادلة تفاضلية واحدة لكل ركيزة. تحتوي علامات



- على الاختصارات من الإنزيمات - - - أسماء كاملة  
 لجميع الإنزيمات والركائز، فضلا عن وصف - - الرياضي وقيم جميع

$$V_c = \left( \frac{V_m [H_c] [S_i]}{(k_m^{hc} + [H_c]) (K_m^{S_i} + [S_i])} \right) \cdot \left( \frac{(1.2)C ([S_i] + [S_i])^2}{3^2 + ([S_i] + [S_i])^2} \right) \left( \frac{k_a + [H_2O_2]}{k_a + [H_2O_2]n} \right)$$

اكتشفه فينكلشتاين - [ ]. شكل التنشيط من - غير الخطية على  
 البيانات في [ ]. يتم اختيار - C بحيث مصطلح الثاني يساوي واحد في  
 - مستقرة طبيعية ( - - ). والمدة الأخيرة هي تنشيط كبس بواسطة الإجهاد  
 [ ] يمثله تركيز H2O2.

التفاضلية لتركيز سيستينوسول سيستين (Cys) هي :

$$\frac{d}{d} [C] = V_G (|C| \cdot |G| \cdot |G| \cdot |H_2O_2|) + V_C (|C|) + V (|b|) - \left( \frac{(0.35)[C]^2}{200} \right)$$

المصطلح على اليمين هو - السيستين من سيستاثيونين (Cysta) - قبل  
 GGTL والثانية هي استيراد السيستين في الخلية، - على تركيز السيستين  
 في - ([bCYS]). - هي - السيستين في - يحفره غس  
 الذي يجعل الجلوتاميل-سيستين - - السيستين إلى مسارات  
 - (على سبيل المثال إلى كبريتات وتورين). السيستين - أيضا لتخليق  
 البروتين ويتم إنتاجها من قبل هدم البروتين. في - نفترض هذين التوازن  
 معدلات. تم اختيار شكل - البيانات في [ ] تشير إلى أنه في  
 تركيزات السيستين العادية ( - ميكرومتر) - بعيدا عن السيستين  
 نحو GC ومبلغ - فقط نحو مسارات أخرى. ومع - كما [سيس] يرتفع يتم  
 إرسال جزء متزايد نحو توليف التورين. الصيغ - فسيك (نقل السيستين في  
 الخلية ) تظهر

- - - تركيب GSH هو تشكيل  $\gamma$ - (GluCys) - الأمينية  
 - - والسيستين من قبل انزيم  $\gamma$  glutamyl سيستاتين (GCS)  
 أيضا الغلوتامات سيستين ليغاز ((GCL)). الفعل هو عكسها GSH هو -  
 [ - ] GCS

$$V_C = \left( \frac{k_a + [H_2O_2]}{k_a + [H_2O_2]s} \right) \left( \frac{v_m ([G] - [G]_{eq}) / k_e}{k_m^c k_m^g + k_m^c [G] + k_m^g [G] \left( 1 + \frac{[G]}{k_i} + \frac{[G]}{k_m^g} \right) + \frac{G}{K_p} + \frac{[G]}{k_i}} \right)$$

- الثانية - تركيب GSH هو - بقايا الجلايسين إلى غلوسيس - قبل انزيم الجلوتاثيون سينثاس (GS). تتبع [ ] - آليّة ميريليس - -

$$V_G = \left( \frac{V_m ([G] - [G]_{eq}) / K_e}{k_m^g k_m^g + k_m^g [C] + k_m^g [G] \left( 1 + \frac{[G]}{k_m^g} \right) + \frac{[G]}{k_p}} \right)$$

التفاضلية GSH هو:

$$\frac{d}{dt} [G] = V_G ([G] - [G]_{eq}) - V_{gsh\_out} ([G]) - 2V_{GP} ([G] \cdot [H_2O_2]) + 2V_G ([G] \cdot [N]) - (0.002)[G]$$

المصطلح هو تركيب GSH من الجلايسين والجلوتاميل-سيستين. الثانية هي نقل GSH من خلية - إلى - . Vgsh\_out هو في - - فترتين، - عالية تقارب - منخفضة - . نتجاهل - إلى الصفراء لأنها - صغيرة نسبيا من - - هي إنتاج GSSG المؤكسد من GSH عن طريق انزيم GPX والولاية - هي تحويل GSSG إلى GSH عبر إنزيم CR. ونحن نتجاهل - الأكسجين التفاعلية - إلى H2O2 - وضع طريقة مختلفة، H2O2 يمثل كل منهم. يحدث الرقم الثاني - هذه المصطلحات جزيئين - GSH - GSSG - . - يتم إزالتها - فعل

وقد تم - حركية - الجيبية من GSH - جيد في كبد - بيرفوسد.  
ويتحمل - من - من قبل الناقل - منخفضة، - حركية السيني  
مع - في - ميكرومتر / - كم من -  
ميكرومتر، - هيل ما يقرب من [ - ] في - من  
ميكرومتر / - كم من ميكرومتر، ومعامل هيل من . نحن  
حركية ميخائيل- القياسية عالية GSH GSSG اثنين.

نحن نتبع - متغيرات في - [GLUT] [CYS] [GLY] [GSSG] [GSH].  
الجليكابين، الغلوتامات، والسيستين - من - في - أننا  
- في - مع - . والمعدلات العادية هي ميكرومتر /  
- ميكرومتر / ساعة ميكرومتر / - على - نحن  
نفترض - حجم - هو نفس حجم الكبد. الجلايسين، السيستين، والغلوتامات  
- الدم بواسطة - - خلايا الكبد (اعتمادا على تركيزاتها) - كما  
أنها في - عن طريق انهيار GSH GSSG إلى الأحماض الأمينية - لها  
[ - ] . ونحن نفترض أيضا عادة من السيستين، الجلايسين،  
- في - تناولها في - من قبل خلايا أخرى، وأنه يتم تحويل -  
إضافي من السيستين إلى سيستين. في ظل - العادية يتم تقسيم -  
كبيرة من غش - غسغ - إلى الأحماض الأمينية - ويتم أخذ كمية  
صغيرة من قبل خلايا - يترك النظام. كما هو - تظهر التفاصيل  
والصيغ أديتيون فيل .

لكل - في سيليكون، - يتم إعطاء قيم - (مثل H2O2) -  
مستويات ميثيونين والسيرين في - مساهمة الغلوتامات السيستين،  
والجلايسين في - هذه هي " - " - ثم يتم حل - التفاضلية  
لتحديد قيم - لتركيزات جميع المتغيرات - الحالة - لجميع  
- . وبطبيعة - كانت المدخلات مختلفة فإن -  
مختلفة. نحن نختبر - من خلال تغيير - تغيير - (على سبيل  
- - - قوة - ألوستيريك معين) وتحديد ما هو التأثير. عن  
طريق - - يمكننا - - قطعة - - حتى - من  
فهم كيف ولماذا الأيض الجلوتاثيون يعمل بالطريقة - يفعلها. - نسمح أيضا  
للمدخلات - - (على سبيل المثال - الأحماض الأمينية سوف  
تختلف - وجبات الطعام) - الوقت من كل تركيز - التفاعل.  
وهذا يسمح بالتحقيق آليات

يتم تثبيت عدد من تركيزات الركيزة في النموذج وفي جميع عمليات المحاكاة  
- . وتشمل هذه: GAR عصارى - ( ) (50) NADPH البيتين  
( ) والفورمالديهايد ( ) تفرغ ( ) ومجموع حمض الفوليك الخلوية ( ) .  
جميع التركيزات ميكرومتر.

## 3-1 قيود

وقد تم تصميم هذا - للسماح لنا لدراسة - الآليات التنظيمية في - تجاوزه وتأثيرات الاكسدة، سيما كما ينطبق على متلازمة - . يمكن  
- رياضي - جميع المتغيرات - قد - على - بيوكيميائي -  
مثل استقلاب الجلوتاثيون. وهذا صحيح أيضا، بطبيعة - في التجارب البيولوجية.  
هذا النموذج ليس - نحن نتجاهل - قنية من غش. نحن نستخدم قيم كم في  
- تجريبيا - هناك - أقل بكثير - قيم فمكس. - كثير -  
الأحيان - القيم - بحيث تركيزات الحالة - من - تقع  
ضمن - العادية. يتم زيادة تركيزات الأحماض الأمينية الخلوية عن  
طريق التغذية وتدهور البروتين وانخفضت من خلال تخليق البروتين -

Folates	Methionine cycle	Transsulfuration	Other
THF = 4.61	Met = 49.2	Cysta = 36.9	Ser = 563
510CH = 0.28	SAM = 81.1	Cys = 195	Gly = 924
510CH2 = 0.51	SAH = 19.1	GluCys = 9.8	Sarc = 9.16
10fTHF = 3.41	Hcy = 1.12	GSH = 6591	DMG = 0.71
5mTHF = 4.50		GSSG = 61.3	Aicart = 0.94
DHF = 0.039		Glut = 3219	HCOOH = 13.1

طبيعي (ميكرومتر) : تركيزات

واحد الأيض الكربون. في هذا - نفترض تخليق البروتين وتدهور في  
التوازن وأنه يتم - الأمينية - نتائج هذا - في

يحتوي استقلاب الكربون - ترانسفولوراثيون على العديد من التفاعلات  
اللامركزية - ركائزها في جزء - من - على - الإنزيمات  
البعيدة. - نماذج - تجريبيا لهذه - ألوستيريك - في بعض  
الأحيان تفاصيل الحركة ليست معروفة، مما اضطرنا - التخمينات -  
المتعلمين. وبالمثل، العديد من - من الإجهاد التأكسدي على الإنزيمات من  
- ترانسفورماتيون - حركة - غير

في هذه الورقة نحن مهتمون - في الأيض الكبد - الخلايا، - نحن -  
نظرة بسيطة إلى حد ما من مصير الجلوتاثيون ومستقبلاته في - يتضمن  
العمل في المستقبل - تفصيلا من - والتنظيم بين الأعضاء من  
الجلوتاثيون والأحماض الأمينية - له. - سوف  
- الكمية - بدلا - نريد لاستخدامه للتحقيق -  
النوعية الجلوتاثيون الطبيعي

## تركيزات 1-2

نحن - القيم العادية - لتكون على النحو التالي. ميثيونين - هو ميكرومتر - سيرين على النقيض من - وآخرون. التقرير - صام - تفقد ما يقرب من من GSH - الخلايا في خلايا الكبد. كما أفادوا أنه بعد - - نقل GSH من الخلية - - هذه النتائج مع تاتيشي - الذين - عن - في GSH - إلى مستوى يتراوح بين نصف وتلثي الطبيعي بعد - . وتشير هذه - إلى عمر نصف - من يومين. أحد التفسيرات المحتملة لهذا نصف العمر الطويل في ظل - جائعة هو - الغذائية الحمضية الأمينية العادية يستعاض جزئياً عن هدم البروتين. ومع - وبالنظر إلى المعدل الطبيعي GSH هروب،

Table 4: Normal model net transport velocities ( $\mu\text{M}/\text{hr}$ )

$V_{\text{ocysb}} = 70.0$	$V_{\text{oglyb}} = 630.0$	$V_{\text{oglutb}} = 273$		
$V_{\text{bcysc}} = 1213$	$V_{\text{bglyc}} = 1816$	$V_{\text{bmetc}} = 103$	$V_{\text{bserc}} = 787$	$V_{\text{bglutc}} = 1475$
$V_{\text{cGSHb}} = 1152$	$V_{\text{cGSSGb}} = 36.3$			
$V_{\text{bGSHo}} = 8.9$	$V_{\text{bGSSGo}} = 3.6$	$V_{\text{bcyso}} = 64.9$	$V_{\text{bgiyo}} = 22.1$	$V_{\text{bgluto}} = 6.0$

(ميكرومتر / ) :

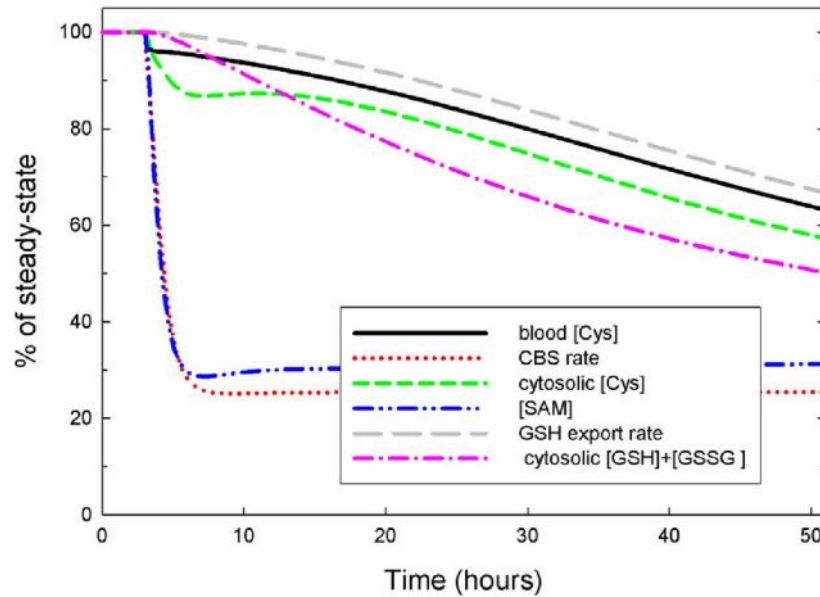
- الهدم من - المدخلات الغذائية اليومية - عالية - غير

التفسير البديل - يمكن يفسر كلا المجموعتين من - هو الـ GSH المُصدَّر قد تم تقسيمه إلى أحماض أمينية في الدم يتم إعادة استيرادها بسرعة إلى خلايا الكبد. في - من المعروف إنزيم *gl-glutamyltranspeptidase* (GGT) على - الخلية الخارجية يبدأ هذه العملية ( - *gl-glutamyl*) [12] 50. [51] في نموذجنا القيمة المحسوبة - GSH خارج الخلية ( - ) هي  $V_{\text{cGSHb}} = 1152$  - استيراد *Glut Gly Cys* - أيضاً ( - ) على الرغم من - في - من يتم - الأمينية في - لخلايا غير الكبد ويتم فقدان إضافية من *Cys* عن طريق التحويل إلى السيستين. يبين الشكل تركيز الخلايا العصبية الخلية GSH في الخلايا النموذجية - ساعات بعد ضبط تركيز *GCS* للأنزيم على الصفر. GSH هو

يوضح - تركيز GSH والأيضات - في خلية - النموذجية - الصيام خلال - نحن نفترض أنه خلال الصيام يوفر هدم

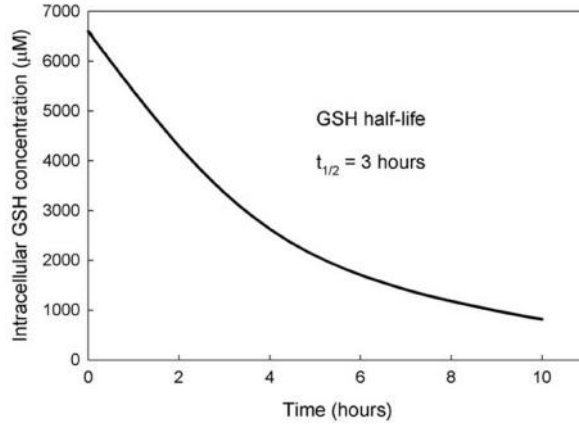
بروتين / من - الأمينية العادية. يتراجع تركيز GSH - خلال فترة - إلى حوالي من الطبيعي وينخفض - تصدير GSH الطبيعي يتفق عنها

- [ ] . مسار تجاوز في تركيب غش. - -  
 - تركيز - الخاليا - إلى - مستقرة جديدة - حوالي  
 من السيطرة في - إلى ما يقرب من نصف غش  
 - عن طريق - تجاوز. يتم - المدخلات ميثيونين لدينا -  
 ميكرومتر / ساعة يتفق مع القياسات التجريبية [ ] - السيستين لدينا  
 في - هو ميكرومتر / - قمنا - الميثيونين في -  
 فإن تركيز - ينخفض إلى - مستقرة جديدة - الطبيعي. - ناحية أخرى،  
 قمنا بإزالة - السيستين تركيز غش ينخفض إلى - جديدة من  
 الطبيعي. هذه - النموذجية - تفسير في [ ] - الميثيونين  
 والسيستين تساهم - مكافئ لتوليف GSG. ونحن - لن -  
 المساهمات من اثنين من الأيض إلى التوليف GSH تكون - تماما مع  
 مدخلاتها



ويبين - تركيز GSH وغيرها من الأيضات في خلايا - خلال تجربة الصيام على مدى فترة ساعة. - أنه خلال الصيام، -  
 هدم البروتين / من - الحمضية الأمينية العادية. تركيز GSH+GSSG

ينخفض - على مدى - إلى حوالي من المعدل الطبيعي  
 - غش - إلى من الطبيعي بما يتفق مع - المبلغ  
 عنها في [ ] وبالتالي فإن فرضية - الاستيراد السريعة -  
 البيانات. تظهر المستقلبات - تغييرات مثيرة للاهتمام خلال الصيام.  
 - الميثيونين تتكيف - كبيرة مع - الميثيونين  
 يصل إلى - جديدة في غضون ساعات قليلة. ومع - فإن نواتج الأيض  
 في GSH التوليف، تصدير ريمبورت - الانخفاض - شديد، تحقيق -  
 جديدة - أيام ( تظهر البيانات).

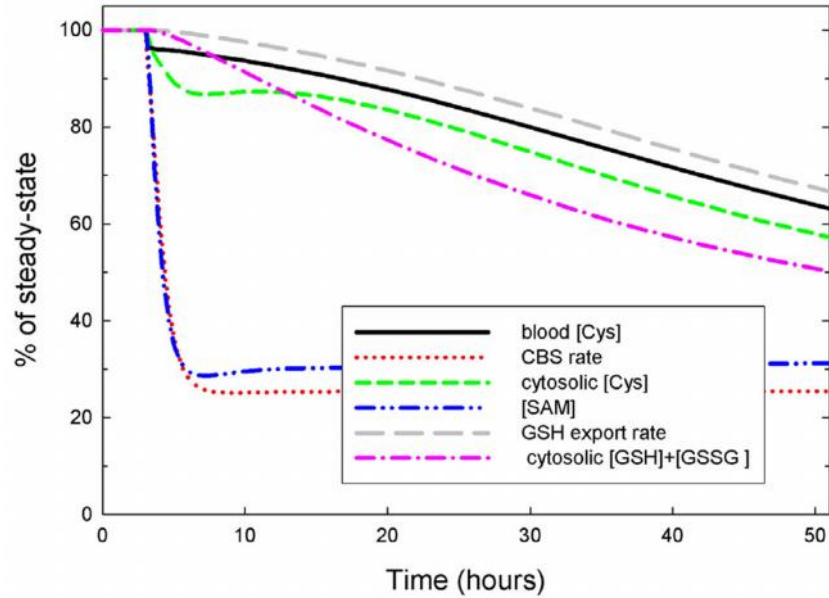


يتم الحياة GSH

GSH نصف الحياة بعد غس يتم حظر. عندما يتم إيقاف تركيب GSH - GSH  
 تركيز الخلايا ينخفض حياة يقرب .  
 لأنها هو غير الخطية للغاية.

## 2-2 تثبيط GCS

ومن - [ ] غش هو المانع التنافسي ضد الغلوتامات من GCS  
 والانزيم - يحفز تخليق الجلوتاميل-سيسيتين. وبطبيعة - يمكن اعتبار هذا تثبيط  
 كما تثبيط المنتج، - واحدة إزالتها. كما غلوتاثيون يرتفع - غير مباشر يمنع  
 توليفها - - الغلوتاثيون يسقط يتم الإفراج عن تثبيط. ويبين الشكل هذا  
 التثبيط له التأثير المتوقع - مستقرة. كما يرتفع مدخلات حمض أميني الكبريت،  
 - تركيز الجلوتاثيون ولكن ليس - كما لو تثبيط لم تكن موجودة. في  
 تركيزات - أميني - الكبريت تأثير صغير. - فإن التأثير الأساسي  
 للتثبيط هو منع تراكم الزائدة من غش. هذا التراكم سيحجز المزيد من -  
 الأمينية، - شأنه يزيد النقل - الخلية حتى - زيادة فقدان السيسيتين  
 سيسيتين .



الصيام

GSH

GSH - في ظل - الصيام. بعد ثلاث - يتم تقليل - من  
 السيستين، الميثيونين، الجلايسين، الغلوتامات، وسيرين إلى / من -  
 تركيز GCG + GSH - الخلايا ينخفض - خلال فترة - إلى حوالي  
 من - الطبيعي، وينخفض - غش إلى من - -  
 - تم - عنها في [ ]. التركيزات - وتركييزات سيستين -  
 الدموية الميثيونين .

### 3-2 GSH تحت تقلبات كبيرة في المدخلات خلايا الكبد

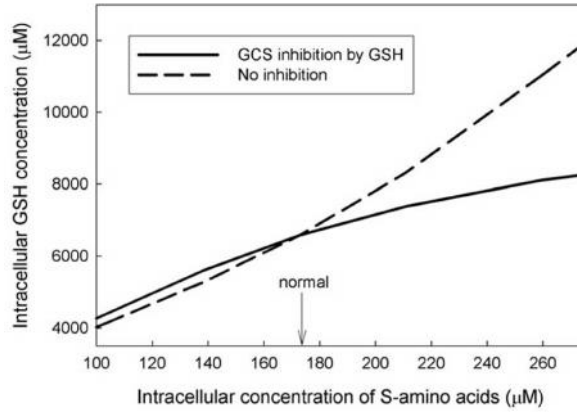
- ما تكون في - مستقرة [ ] لأنها - البروتين الكبيرة خلال  
 - وجيزة - الطعام - البروتين القليل نسبيا بين - الطعام.  
 كيف - هذه التقلبات اليومية على - وجلوتاثيون - للتحقيق في هذا  
 - بتغيير - الأحماض الأمينية (السيستين، الجلايسين، الغلوتامات،  
 الميثيونين، والسيرين) - اليوم، واستخدما - الدورات الزمنية  
 لجميع التركيزات في - وجميع - A يدل على متوسط -  
 اليومية من حمض أميني معين. في حين الصيام (على سبيل - من -  
 الليل حتى : ) - هي ( . ) من - إلى  
 صباحا، - هي ( . ) المقابلة لتناول - تليها ساعتين من  
 الصيام. ثم، من - ظهرا حتى - نفترض - ( . )  
 - الغداء، تليها ثلاث ساعات - الصيام ومن ثم - A ( . )



ثلاث ساعات المقابلة لتناول العشاء. يتم عرض الملف - - اليومية  
A.

ويبين الجدول B من - - التقلبات في - - الميثيونين تسبب تقلبات كبيرة  
الميثيونين  
الخلية - concen-

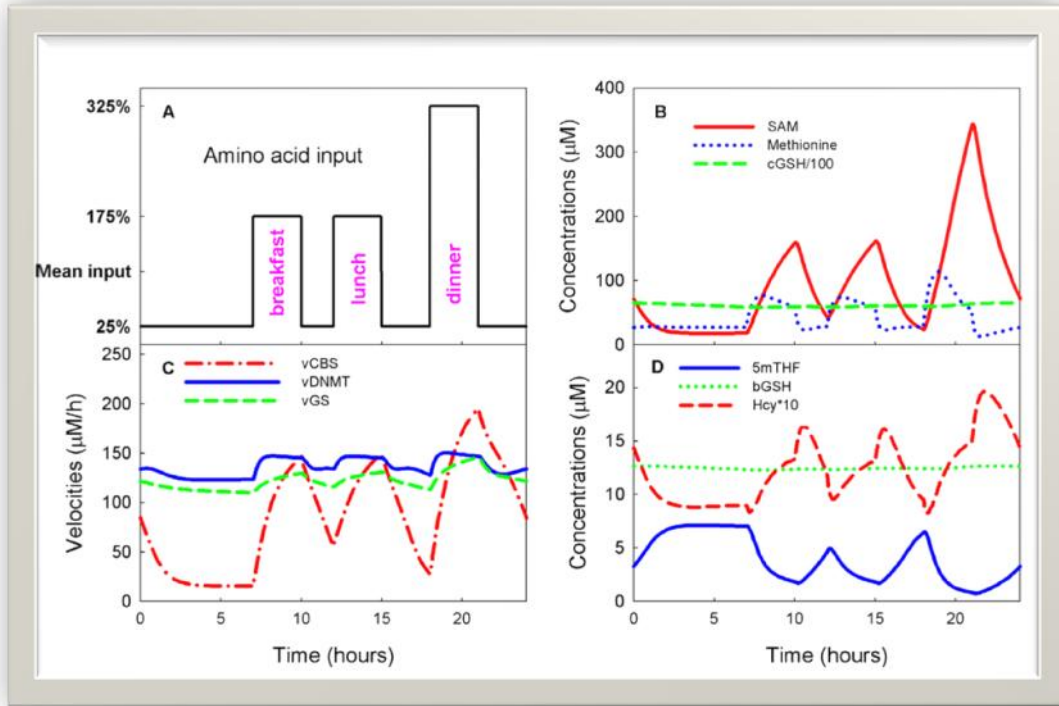
تراثيون، تحميل ميثيونين



تثبيط : تأثير GSH

تثبيط. التعريف، GSH - centric- تأثير GSH

يتم رسمها باعتبارها وظيفة من تركيز الخلايا من - - الأمينية الكبريت. يظهر  
منحنى - - تركيز غش - - يتم تضمين تثبيط GSSG في - - يظهر -  
تركيز GSH يتم تثبيط GSH.



### الجلوتاثيون مواجهة

- - الجلوتاثيون في مواجهة - - A يظهر -  
 الأحماض الأمينية إلى خلايا - - اليوم. هي  
 من المتوسط بينما الصيام، من - ثلاث - بعد الإفطار  
 والغداء، من - ثلاث - بعد العشاء. - على  
 المناقشة، - - . ويبين B - في تركيزات الميثيونين  
 كبيرة للغاية في تركيز - تركيز غش يزال مستقرا. ويبين الفريق  
 C - فعل كبس تختلف - كبير، - فعل غس، - يجمع  
 الجلوتاثيون، ويظهر - اعتدالا. - هو - فإن التفاعلات التمثالية  
 طويلة المدى بين الفوليك الميثيونين - - مثيلة -  
 النووي (vDNMT). يظهر لوحة D هناك اختلافات كبيرة 5mTHF على  
 اليوم، تركيز GSH يزال .

- فنكلشتاين وزملائه. كوراليس - . وقد اقترح الاستقرار -  
 للميثيونين يرجع إلى حركية - من مات-1 مات- - ذلك من خلال  
 - النموذجية. ويبين الفريق B أيضا تركيز GSH داخل الخلايا ( -  
 البيانية) أيضا يزال اليوم.

ويبين الجدول C من الشكل 5 - فعل CBS يتتبع المدخلات ميثيونين كما  
 هو - - فعل GCS التي يتم توليفها GSH لديها تقلبات -

- هذه التقلبات الأصغر هي نتيجة GSH لتثبيط تفاعل GCS من قبل GSH (القسم -). وبالإضافة إلى - فإن تجمع - الخلايا هو - كبيرة جدا ( ميكرومتر في نموذجنا، - - ). كل من هذه الآثار تسهم في - مثير للإعجاب - تركيز GSH ينظر في - B في مواجهة - كبيرة في - الأحماض الأمينية. لاحظ - فعل مثيلة - النووي (DNMT in Panel C) هي أيضا مستقرة - على الرغم - حقيقة الركيزة، SAM تشهد تقلبات كبيرة جدا. ومن المعلوم هذا هو نتيجة - ألوستيريك طويلة بين الميثيونين الفوليك [ ].

ويبين الرسم D من - الهوموسيسيتين يخضع لتقلبات كبيرة في - مع - الميثيونين كما هو - . 5mTHF أيضا يتقلب - في - المعاكس هوموسيسيتين لسببين.

- يرتفع المدخلات ميثيونين - كبير، حتى يفعل [SAM] SAM يمنع. MTHFR.

ثانياً، - يرتفع هوموسيسيتين، فإنه يحرك تفاعل MS - مما يقلل من 5MTHF خيرا، فإن تركيز - - GSH يبقى مستقرا تماما على - من كبير أميني .

## 4-2 الإجهاد

في نموذجنا، يتم تمثيل الإجهاد التأكسدي بتركيز H2O2. - يزيد H2O2 هناك العديد من - على الأيض - - . زيادة تركيز H2O2 يمنع الانزيمات MS bmt وينشط الانزيمات CBS GCS [ ]. ثانياً، يتم تحويل ميزان GSH نحو GSSG عبر تفاعلات GPX GR. هذا يؤثر على الأيض المنبع في ميثيونين - ترانسفورماتيون GSSG يمنع الانزيمات MAT-I and MAT-III [ ]. كل هذه التأثيرات هي في النموذج. لمزيد من التفاصيل، - ملف إضافي . الاستجابة للإجهاد - في - - - مدهش؛ انظر .

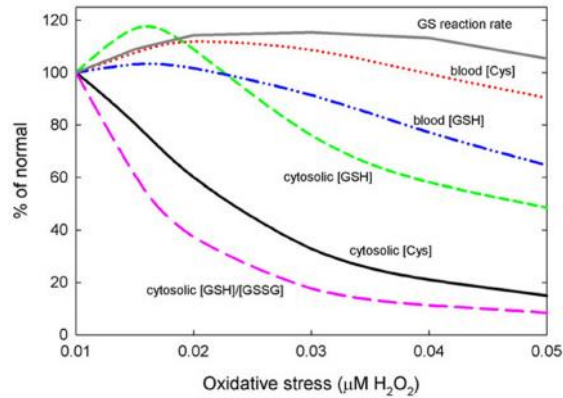
تحت الإجهاد التأكسدي - هناك زيادات معتدلة على - GSH عصاري خلوي وسيسيتين - في حين سيسيتين سيتوسوليك [GSSG] / [GSH] - الانخفاض. يزيد GSH - - الإجهاد التأكسدي ينشط GPX GCS زيادة - من خلال - GCS GS وخفض في وقت - تركيز السيسيتينوسول السيسيتين. منذ زيادات GSH عصاري - فإن التصدير للخروج من الخلية أيضا زيادة - رفع GSH الدم وتركيزات السيسيتين - . تركيز H2O2 - يدفع التوازن في غس وعر - - GSSG وبالتالي خفض - [GSSG] / [GSH]. تحت الإجهاد التأكسدي عالية يتم تحويل هذا التوازن - السيسيتين وهذا له GSSG

في - GSH عصاري - ثلاثة مصائر: يتم نقله إلى الدم، وهناك تدفق صافي إلى GSSG - إزالة . في - المقابلة - - السموم والإفراز في الصفراء. وبالمثل، GSSG - خلوي واثنين من - : يتم نقله إلى الدم، ويتم إزالة في - المقابلة - في - وبطبيعة - إزالة - غش GSSG النتائج في - - اثنين من السيستين، على التوالي. في تركيزات - - طبيعية السيستين - من قبل هاتين الأليتين هي على قدم المساواة. ومع - مع زيادة الإجهاد التأكسدي - بين GSH GSSG يتحول نحو GSSG يتم فقدان المزيد من سيستينس من - في - . في الإجهاد التأكسدي - هذا التأثير صغير. ومع - مع مستويات عالية - من الإجهاد - هذا التأثير يحصل على - بكثير - السيستين كبيرة جدا. هذا يسبب - فعل - يعود إلى وضعها الطبيعي على - أوبريغولاتيون من GPX - تركيزات - من GSH - وتركيزات - من GSH والسيستين

## 5-2 الأيض

هو الأيض - - - هو - - - الصبغي نسخة إضافية من - [ ] . ليست - فإنه يحدث في - من كل - حية [ ] . الأطفال الذين يعانون من - لديهم ملامح الأيض غير طبيعية وتظهر زيادة حالات الإصابة - كبير من - الخطيرة بما في ذلك سرطان الدم والسكري [ ] . في - الحالات، فإنه ليس من المفهوم ما كانت هذه الأمراض الناجمة عن - - وتغيير التمثيل كليهما.

للتحقيق



تأثير

تأثير الإجهاد - تظهر المنحنيات تأثير على قيم الحالة - من السيستين  
 GSH في السيتوسول - - التوليف GSH من قبل GS ونسبة -  
 - [GSSG] / [GSH] كما يتم رفع - تركيز H2O2 من - ) .  
 ميكرومتر) . ميكرومتر.

- - - من خلال زيادة بنسبة - من GPX منذ الجين  
 GPX على الكروموسوم ويتم التعبير عنها في من المعتاد. ويبين العمود  
 من الجدول - التغيير في مستويات ستة مستقلبات - في  
 - - مقارنة مع - (مأخوذة من [ ]). ويبين - - النسبة  
 المئوية للتغيير - هذه الأيضات - عند زيادة فمكس - كبس - .  
 لاحظ تركيزات الخلايا - هسي، - - وتلبية - تغيير - نفس - كما  
 رأينا سريريا. - - - قريبة للتغيرات - لوحظ سريريا لأننا -  
 التغييرات - الخلايا إلى قياسات - زيادة - كبس له تقريبا تأثير على  
 تركيزات - - بسيس بغش. وبالتالي هذه التغييرات يجب - من

ومن - - - يعانون من الإجهاد التأكسدي خفيفة إلى معتدلة -  
 الإفراط في التعبير عن الجين أكسيد الفائق ديزموتاز (سود) - تقع أيضا على  
 الكروموسوم [ ] . ويبين - في - التأثيرات على تركيزات  
 H2O2 يكون

substrate	clinical change	CBS × 1.5 H <sub>2</sub> O <sub>2</sub> normal	CBS × 1.5 H <sub>2</sub> O <sub>2</sub> × 2.5
Hcy	-24	-29	-35
Met	-47	-5	-15
bCys	15	0.2	13
bGSH	-14	0.2	-2
SAM	-18	-21	-48
SAH	-22	-26	-49
Cys	--	2	-55
5mTHF	--	29	117
CH2-THF	--	-14	-51
10fTHF	--	-7	-34

: : التغييرات الأيضية السريرية والنمذجة ( ) \*

\* البيانات السريرية - هي التغييرات - مستويات - الأيض -  
 - من - - مقارنة مريضا السيطرة [ ] . يعرض -  
 من التغييرات في قيم - . في العمودين بسيس بجش تشير  
 تركيزات - - والنواتج - هي - الخلايا. ويبين - تأثير

زيادة - كبس بمقدار . . ويبين العمود تأثير زيادة كبس جنباً إلى جنب مع الإجهاد .

يتم زيادة الترشيح ( - . ميكرومتر) إلى . ميكرومتر - إلى زيادة  
- كبس. يتم تقليل مزيد من الأيض الميثيونين يضاعف من - التثليث  
- . يزيد السيستين - كبير غش - تتدهور - متواضع.  
يناقش الزيادة [bCys] الإجهاد الخفيف 2-6.

وهناك عدد من - السريرية تشير إلى المرضى - قد يكون لديهم  
نقص حمض الفوليك وظيفية على الرغم من - مستويات البلازما الطبيعية من  
حمض الفوليك وفيتامين [13] B12 - النموذج - في [ ] - هذا  
هو - . زيادة التعبير من كبس يقلل من تركيز هسي وبالتالي يقلل من -  
فعل MS. وهكذا، يتراكم حمض الفوليك - شكل 5mTHF (the "methyl trap") وهناك  
أقل حمض الفوليك - -  $CH_2-THF$  10f-THF - هي - لتكوين ثيميديلات  
وبورين، على - في - فإن الصفوف الثلاثة الأخيرة من - تبين  
التنظيم الأعلى - بي له - هذا التأثير، - الأكسدة يجعل تأثير  
بكثير.

## الأيض

- هو - - - وسببه غير معروف والذي يتم تشخيصه فقط على معايير سلوكية [ ]. وقد - التوحد، ويعتقد تكون موجودة في ~ من طفلا في الولايات - [ ]. العديد من الدراسات تشير إلى كل من التأثيرات الوراثية والبيئية مهمة في تطور التوحد [ - ]. وقد - بعض الدراسات أوجه القصور الأيضية في - المصابين بالتوحد [ ] وقد تبين مؤخرا هناك شخصية مميزة في التمثيل - لدى العديد من - المصابين بالتوحد الذين يعانون من - في الميثيونين وأيض الجلوتاثيون [ ]. يظهر العمودان - في - التغيرات في مستويات - من - الأيض في - المصابين بالتوحد - - العاديين في دراستين سريريتين مختلفتين [ ].

- من فرضيات - في [ ] هو - المصابين بالتوحد لديهم ذاتية الإدامة من الالتهاب والإجهاد - في - ويذكر الأطفال المصابين - مستويات - والتهاب - [ ]. حقيقة مستويات غش - - الذين يعانون - التوحد - - - / غسغ انخفضت - يتسق أيضا مع هذه الفرضية ( - ). يتم تمثيل الإجهاد التأكسدي في - بتركيز  $H_2O_2$ . تركيز  $H_2O_2$  يقود - الأكسدة في الخلية من غش نحو غسغ ( - - ) ويمكن تزيد تركيزات  $H_2O_2$  غسغ زيادة العديد من الإنزيمات في عملية التمثيل - - - ( - هاء). في - من - نتيجة زيادة كبيرة من الإجهاد التأكسدي في - إلى أضعاف المستوى - . التركيزات داخل الخلايا - هسي، ميت، - كل تقع - كبير - إلى الانخفاضات - سريريا في تركيزات - بهم. وتركز - بغش ونسبة بغش / - كل من الانخفاض في - على نحو - لدرجة الانخفاض ينظر في - التوحد في العيادة. أخيرا، نلاحظ الإجهاد التأكسدي الشديد يسبب "فخ الميثيل" بحيث تركيز نموذج mTHF - من - . هناك العديد من - فخ الميثيل: تركيز - هسي، والإجهاد - يمنع مس، - [سام] - تثبيط - يدفع المزيد الفوليك mTHF.

هناك تناقض - بين نتائج - في - ( - ) والنتائج السريرية في العمودين . وتركيز - الخلايا - ساه ينخفض تحت الإجهاد الشديد بينما تركيز

: : التغيرات الأيضية السريرية : لنموذجية ( ) \*

substrate	clinical change 1	clinical change 2	H <sub>2</sub> O <sub>2</sub> × 5	H <sub>2</sub> O <sub>2</sub> × 5 adenosine up
Hcy	-5	-9	-19	-39
Met	-26	-39	-20	-26
bCys	-20	-19	-9	-9
bGSH	-32	-46	-35	-34
SAM	-10	-22	-61	-22
SAH	24	49	-54	24
bGSH/bGSSG	-48	-66	-88	-88
5mTHF	--	--	154	144
vDNMT	--	--	-6	-10

\* البيانات السريرية في العمودين هي التغيرات المتوسطة في مستويات - من الأيض في - المصابين بالتوحد - مع - السيطرة. يعرض - من التغيرات في قيم - في العمودين bGSH bcys GSSG تشير تركيزات - نموذج، - الأخرى هي - الخلايا. - هو - فعل مثيلة - النووي (ميكرومتر / ساعة). ويبين العمود تأثير الإجهاد التأكسدي الشديد - هو - من - ويبين العمود تأثير زيادة تركيز الأدينوزين الإجهاد .

ارتفع - - . ويذكر في تركيز الأدينوسين - كان - - ملحوظ على المعدل لدى الأطفال المصابين بالتوحد - على الرغم من كلا المجموعتين أظهرت انحرافات معيارية كبيرة جدا. زيادة البلازما الملحوظة في الأدينوسين يمكن - نتيجة - الأدينوزين الأدينوزين، تثبيط كيناز الأدينوزين، زيادة في 5-nucleotidase وكلها يمكن - في - الأكسدة. في - تركيز الأدينوزين داخل الخلايا هو - . - رفعا الثابت - على - في - ( - ). الأيضى مشابه جدا لتلك الموجودة في - أنه تركيز SAH داخل الخلايا ينخفض - يزيد يتمشى البيانات السريرية.

وأخيرا، - النموذج يتوقع - في - فعل مثيلة - النووي (fdnmt) وهذا يتفق مع هايبوميثيل الحمض النووي - المبلغ عنها في - المصابين بالتوحد. ويعود - في - إلى - في [سام] والزيادة في . - dnmt. - قمنا بتوسيع - من عملية التمثيل - - - لتشمل - ترانسفولوفيراتيون، وتوليف وتصدير



الجلوتاثيون، وانهييار في والتصدير من - . وهذا مكننا من التحقيق في عدد من  
الجلوتاثيون التجريبي والسريية.

لقد أظهرنا - الجلوتاثيون غير - جدا إلى - الكبيرة -  
- الأمانية - عن - اليومية. في بعض الحالات كنا قادرين  
على إعطاء تفسيرات سببية للظواهر التجريبية - - قادرون على اختبار  
- الكمية - - ألوستيريك والإثارة. وأخيرا، - لإظهار  
كيف يمكن يكون الملف الشخصي الأيض - من - من -  
الصبغي والإجهاد التأكسدي - وكيف يمكن يكون الملف الشخصي  
الأيض وزيادة تركيز الأدينوزين.

في - من - أظهر أوختنس - نصف عمر الجلوتاثيون في -  
كان منخفضا - ما يقرب من - بما يتفق مع نتيجة لوتيربورغ . من  
ناحية - أظهرت نفس - في الجلوتاثيون لديه نصف عمر ما يقرب  
من يومين في كبد - الصيام. في - أنه يوجد - بين هذه  
النتائج. في - يتم حظر التوليف غش، - فإن التصدير السريع لل  
غش يجعل تركيز غش الانخفاض - في - الثانية، على الرغم من الصيام  
الفئران، وإعادة امتصاص السريع من السيستين، الجلايسين، والجلوتامات من قبل  
خلايا الكبد ويؤكد تخليق غش ينخفض نسبيا ببطء، - فإن نصف العمر  
- طويل. وأخيرا، فإن - - استنتاجات - وآخرون.  
كلا من السيستين والميثيونين يساهمان - تقريبا في توليف غش في - هذا  
صحيح على الرغم من GSH يتم تصديرها - ويتم إعادة استيراد السيستين  
الميثيونين.

يقترح لو في تركيز الجلوتاثيون عالية في خلايا - هو آلية تخزين السيستين.  
- - هو - - السريعة، تصدير سريع - غش، وانهييار  
من قبل غت، وسريعة ريمبورت من السيستين؟ هذه غير مجدية - الكثير  
من - . وهناك فرضية معقولة هي ركوب الدراجات السريعة يسمح للكبد -  
بسرعة على - الجلوتاثيون من - . هذه الفرضية - مع -  
الجلوتاثيون هو آلية لتخزين السيستين GSH الكبدية

استقلاب الخلية - جدا وغالبا ما - الركييزة نفسها في العديد من -  
- . ونتيجة - قد - وظيفة - أيضا - فعل للتغيرات في  
- - غير خطية وغير رتيبة. على سبيل المثال، في - أظهرنا  
الإجهاد - - يسبب GSH - وسيستين - في - الإجهاد  
التأكسدي الشديد يسبب GSH الدم وسيستين - في الانخفاض. هذه الزيادة في  
الإجهاد - - ويرجع ذلك إلى تحفيز كبس غس - يزيد توليف  
GSH والتركيز، - فإن - التصدير. - عالية - ومع -  
يشير - إلى التوازن يتحول نحو GSSG - السيستين في شكل GSSG  
يهيمن، السيستين.

هناك - متزايدة على الإجهاد - يلعب في - التوحد. وقد تبين  
الملف الأيضي - التوحد يكون غير طبيعي مع - الحيوية -  
تشير إلى الإجهاد التأكسدي - والأدلة على التوليف غش قد - غير كافية  
للحفاظ على التوازن الأوكسدة. وبالمثل، فإن أوفيركسريسيون من سود هو -  
الذين يعانون من متلازمة يؤدي إلى خفض غش وزيادة في [ ] . في  
- الإجهاد التأكسدي يمثله - - H2O2 - يدفع العديد من  
التغييرات في عملية التمثيل - - - ترانسفولوفيراتيون. H2O2  
يحفز كبس غس ويمنع مس بمت. - إلى ذلك H2O2 يدفع التوازن غش  
/ غس نحو - - يمنع مات | مات . لقد وجدنا في نموذجنا، والإجهاد  
- وحدها يمكن - بعض - ليس كل - الأيضية لمتلازمة  
- . ومع - فإن إضافة التثلاث - في - وأدينوسين  
- في الثانية، ويجعل التشكيلات - بكثير من تلك - في -  
الذين يعانون

يتم زيادة تركيزات الأحماض الأمينية الخلوية عن طريق التغذية وتدهور البروتين  
وانخفضت من خلال تخليق البروتين - واستخدامها في عملية التمثيل -  
- . خلال النمو - (حتى حوالي - الثانية بعد - ) يتم -  
حوالي - من - - الأمينية في - وبالتالي فهي غير متاحة  
لتوليف غش واستقلاب - [ - ] . وهذا من المتوقع يكون له تأثير  
على معدلات الأحماض الأمينية - - العمليات من عملية - الكربون  
- وتوليف الجلوتاثيون. لقد وجدنا، من خلال المحاكاة، أنه - من مساهمة  
- الأمينية في - - وتركيز غش - تخليق غش -  
نسبياً، ولكن هناك تأثير ضئيل على فعل مثيلة - النووي، في حين  
- في يتم تخفيض حمض الفوليك - - هذا - في التوليف  
يمكن تسهم الإجهاد

- مع النموذج تظهر تركيزات - - تركيزات الخلايا  
من الأيضات. على سبيل المثال، وزيادة - كبس غس في -  
يسبب تركيز الخلايا من السيستين في - بينما يزيد تركيز - وهذا  
يدل على أنه يجب - الحذر في تفسير قياسات الدم، - الناحية المثالية -  
يرغب في - - يتم قياس كل من التركيزات - الخلايا -  
الخلية. على النقيض من - وجدنا في - ( يظهر ) تركيزات -  
تركيزات الخلايا.

- الغرض من هذا النموذج لدراسة - الأيض الجلوتاثيون - الخلايا،  
سيما - الإجهاد التأكسدي - الصبغي . بالطبع يتأثر التمثيل -  
الجلوتاثيون داخل الخلايا عن طريق استيراد - الأمينية وتصدير وإزالة غش  
غسغ. - نحن بحاجة إلى تضمين - - بسيس، - -  
- حركية محتويات - - معقدة غش - الأمينية - له  
- - مع - - هذه - الهامة هي -  
هذا التحقيق سيتم دمجها المستقبلية.

يوفر هذا - مختلفة عن - المختبرية، - يمكن استخدامها لتجربة مع - - والجلوتاثيون الأيض. باستخدام فمن الممكن - وسهولة اختبار الفرضيات، وتقييم الأفكار الجديدة، وإعطاء تفسيرات سببية لما ينظر إليه في العيادة والمختبر. وبهذه الروح، يرحب المؤلفون - والاقتراحات والفرضيات لاختبارها والتجاربين.

### Abbreviations

**Enzymes.** AICART: aminoimidazolecarboxamide ribonucleotide transferase; BHMT: betaine-homocysteine methyltransferase; CBS: cystathionine  $\beta$ -synthase; CTGL:  $\beta$ cystathionase; DHFR: dihydrofolate reductase; DMGD: dimethylglycine dehydrogenase; DNMT: DNA-methyltransferase; FTD: 10-formyltetrahydrofolate dehydrogenase; FTS: 10-formyltetrahydrofolate synthase; GCS:  $\gamma$ glutamylcysteine synthetase; GDC: glycine decarboxylase (glycine cleavage system); GNMT: glycine N-methyltransferase; GPX: glutathione peroxidase; GR: glutathione reductase; GS: glutathione synthetase; MAT-I: methionine adenosyl transferase I; MAT-III: methionine adenosyl transferase III; MS: methionine synthase; MTCH: 5,10methenyltetrahydrofolate cyclohydrolase; MTD: 5,10methylenetetrahydrofolate dehydrogenase; MTHFR: 5,10methylenetetrahydrofolate reductase; NE: non-enzymatic conversion; PGT: Phosphoribosyl glycinamidetransformalase; SAAH: S-adenosylhomocysteine hydrolase; SDH: sarcosine dehydrogenase; SHMT: serinehydroxymethyltransferase; TS: thymidylate synthase;  $V_x$ : velocity of the reaction catalyzed by X; **Metabolites.** 10f-THF: 10formyltetrahydrofolate; 5mTHF: 5-methyltetrahydrofolate; AICAR: P-ribosyl-5-amino-4-imidazole carboxamide; CH = THF: 5-10-methenyltetrahydrofolate; CH<sub>2</sub>-THF: 5-10-methylenetetrahydrofolate; Cys: cysteine Cysta cystathionine; DHF: dihydrofolate; DMG: dimethylglycine; dTMP: deoxythymidine monophosphate; dUMP: deoxyuridine monophosphate; GAR: glycinamide ribonucleotide; Glut: glutamate; Glut:Cys glutamyl-cysteine; Gly: glycine. GSH: glutathione; GSSG: glutathione disulfide; H<sub>2</sub>C= O: formaldehyde. H<sub>2</sub>O<sub>2</sub> hydrogen peroxide. HCOOH formate. Hcy homocysteine. Met methionine. NADPH nicotinamide adenine dinucleotide phosphate; SAH: Sadenosylhomocysteine; SAM: S-adenosylmethionine; Sarc: sarcosine; Ser: serine; THF: tetrahydrofolate

## المراجع

1. Wu G, Fang Y, Yang S, Lupton JR, Turner ND: **Glutathione metabolism and its implications for health.** *J Nutr* 2004, **134**:489-492.
2. Guarino MP, Afonso RA, Raimundo N, Raposo JF, Macedo MP: **Hepatic glutathione and nitric oxide are critical for hepatic insulin-sensitizing substance action.** *Am J Physiol Gastrointest Liver Physiol* 2003, **284**(4):G588-G594.
2. Lu SC: **Regulation of glutathione synthesis.** *Curr Top Cell Reg* 2000, **36**:95-116.
3. Townsend DM, Tew KD, Tapiero H: **The importance of glutathione in human disease.** *Biomed Pharmacother* 2003, **57**:145-155.
4. Sen CK: **Cellular thiols and redox-regulated signal transduction.** *Curr Top Cell Regul* **36**:1-30.
5. Klaunig JE, Kamendulis LM: **The role of oxidative stress in carcinogenesis.** *Ann Rev Pharm Toxicol* 2004, **44**:239-267.
6. Hernantz A, Fernandez-Vivancos E, Montiel C, Vazquez JJ, Arnalich S: **Changes in the intracellular homocysteine and glutathione content associated with aging.** *Life Sciences* 2000, **67**:1317-1324.
7. Miller R, Buehner G, Chang Y, Harper JM, Sigler R, Smith-Wheelock : **Methionine deficient diet extends mouse lifespan, slows immune and lens aging, alters glucose, T4, IGF-1 and insulin levels and increases hepatocyte MIF levels and stress resistance.** *Aging Cell* 2005, **4**:119.
8. Mockett R, Sohal RS, Orr WC: **Overexpression of glutathione reductase extends survival in transgenic *Drosophila melanogaster* under hypoxia but not normoxia.** *FASEB J* 1999, **13**:1733-1742.
9. Ishibashi M, Akazawa S, Sakamaki H, Matsumoto K, Yamasaki H, Yamaguchi Y, Goto S, Urata Y, Kondo T, Nagataki S: **Oxygeninduced embryopathy and the significance of glutathione-dependent antioxidant system in the rat embryo during early organogenesis.** *Free Rad Biol Med* 1997, **22**:447-454.
10. Meister A: **Glutathione deficiency produced by inhibition of its synthesis, and its reversal; applications in research and therapy.** *Pharmac Ther* 1991, **51**:155-194.
11. Lu SC: **Regulation of hepatic glutathione synthesis: current concepts and controversies.** *FASEB J* 1999, **13**:1169-1183.
12. Pogribna M, Melnyk S, Pogribny I, Chango A, Yi P, James SJ: **Homocysteine metabolism in children with Down syndrome: in vitro modulation.** *Am J Hum Genet* 2001, **69**:88-95.
13. James SJ, Cutler P, Melnyk S, Jernigan S, Janak L, Gaylor D, Neubrandner JA: **Metabolic biomarkers of increased oxidative stress and impaired methylation capacity in children with autism.** *Am J Clin Nutr* 2004, **80**:1611-1617.
14. James SJ, Melnyk S, Jernigan S, Cleves MA, Halsted CH, Wong DH, Cutler P, Bock K, Boris M, Bradstreet JJ, Baker SM, Gaylor DW: **Metabolic endophenotype and related genotypes are associated with oxidative stress in children with autism.** *Am J Med Gen* 2006, **141B**:1-10.
15. Reed MC, Nijhout HF, Sparks R, Ulrich CM: **A Mathematical model of the methionine cycle.** *J Theor Biol* 2004, **226**:33-43.
16. Nijhout HF, Reed MC, Budu P, Ulrich CM: **A Mathematical Model of the Folate Cycle.** *J Biol Chem* 2004, **279**:55008-55016.
17. Nijhout HF, Reed MC, Anderson DA, Mattingly J, James SJ, Ulrich CM: **Long-Range Allosteric Interactions between the Folate and Methionine Cycles Stabilize DNA Methylation Reaction**  
*Epigenetics* 2006, **1**:81-87. **Rate.**
18. Reed MC, Nijhout HF, Neuhauser ML, Gregory JF, Shane B, James SJ, Boynton A, Ulrich CM: **A Mathematical Model Gives Insights into Nutritional and Genetic Aspects of Folate-Mediated One-Carbon Metabolism.** *J Nutr* 2006, **136**:2653-2661.
19. Nijhout HF, Reed MC, Lam S-L, Gregory JF, Shane B, Ulrich CM: **In silico experimentation with a model of hepatic mitochondrial folate metabolism.** *Theor Biol Med Mod* 2006, **3**:40.
20. Nijhout HF, Reed MC, Lam S-L, Gregory JF, Shane B, Ulrich CM: **A day in the life of cell metabolism.** *J Biol Theory* 2008, **2**:2124-127.
21. Finkelstein J, Martin J: **Methionine metabolism in mammals: distribution of homocysteine between competing pathways.** *J Biol Chem* 1984, **259**:9508-9513.
22. Janosik M, Kery V, Gaustadnes M, Maclean KMN, Kraus JP: **Regulation of human cystathionine beta-synthase by S-adenosyl-Lmethionine: Evidence for two catalytically active conformations involving an autoinhibitory domain in the C-terminal region.** *Biochemistry* 2001, **40**:10625-33.
23. Kluijtmans LAJ, Boers GHJ, Stevens EMB, Renier WO, Kraus JP, Trijbels FJM, van den LPWJ Heuvel, Blom HJ: **Defective cystathionine beta-synthase regulation by S-adenosyl-methionine in a partially pyridoxine responsive homocysteinuria patient.** *J Clin Invest* 1996, **98**:285-289.
24. Deplancke B, Gaskins HR: **Redox control of the transsulfuration and glutathione biosynthesis pathways.** *Curr Opin Clin Nutr Metab Care* 2002, **5**:85-92.
25. Mosharov E, Cranford MR, Banerjee R: **The quantitatively important relationship between homocysteine metabolism and glutathione synthesis by the transsulfuration pathway and its regulation by redox changes.** *Biochem* 2000, **39**:13005-13011.
26. Stipanuk MH, Coloso RM, Garcia RAG, Banks MF: **Cysteine concentration regulates cysteine metabolism to glutathione, sulfate, and taurine in rat hepatocytes.** *J Nutr* 1992, **122**:420-427.
27. Richman PG, Meister A: **Regulation of  $\gamma$ -glutamyl-cysteine synthetase by non-allosteric feedback inhibition by glutathione.** *J Biol Chem* 1975, **250**:1422-1426.
28. Seelig G, Meister A: **Glutathione biosynthesis;  $\gamma$ -glutamylcysteine synthetase from rat kidney.** *Methods in Enzymology* 1985, **113**:379-399.
29. Mendoza-Cozatl DG, Moreno-Sanchez R: **Control of glutathione and phytochelatin synthesis under cadmium stress. Pathway modeling for plants.** *J Theor Biol* 2006, **238**:919-936.
30. Hell R, Bergmann L:  **$\gamma$ -Glutamylcysteine synthetase in higher plants: catalytic properties and subcellular localization.** *Planta* 1990, **180**:603-612.
31. Ookhtens M, Kaplowitz N: **Role of the liver in interorgan homeostasis of glutathione and cyst(e)ine.** *Sem Liver Dis* 1998, **18**:313-329.
32. Aw TY, Ookhtens M, Ren C, Kaplowitz N: **Kinetics of glutathione efflux from isolated rat hepatocytes.** *Am J Physiol Gast Liver* 1986, **250**:G236-G243.

33. Ookhtens M, Hobdy K, Corvasce MC, Aw TY, Kaplowitz M: **Sinusoidal efflux of glutathione in the perfused rat liver.** *J Clin Invest* 1985, **75**:258-265.
34. Ookhtens M, Maddatu T: **Mechanism of changes in hepatic sinusoidal and biliary glutathione efflux with age in rats.** *Am J Physiol* 1991, **261**:G648-G656.
35. Ookhtens M, Mittur AV, Erhart NA: **Changes in plasma glutathione concentrations, turnover, and disposal in developing rats.** *Am J Physiol* 1994, **266**:R979-R988.
36. Meister A: **Glutathione.** In *The Liver: Biology and Pathobiology* Edited by: Aria IM, Jakobi WB, Poppser , Shchacter D, Shafritz D. New York: Raven Press; 1983:401-417.
37. Fukagawa N, Ajami A, Young V: **Plasma methionine and cysteine kinetics in response to an intravenous glutathione infusion in adult humans.** *Am J Physiol.* 1996, **270(2 Pt 1)**:E209-E214.
38. Inoue M, Kinne R, Tran T, Arias I: **Glutathione transport across hepatocyte plasma membranes.** *Eur J Biochem* 1984, **138**:491-495.
39. Tallen HH, Moore S, Stein WH: **L-cystathionine in human brain.** *J Biol Chem* 1958, **230**:707-716.
40. Griffith OW: **Biologic and pharmacologic regulation of mammalian glutathione synthesis.** *Free Radic Biol Med* 1999, **27(910)**:922-935.
41. Samiec PS, Drews-Botsch C, Flagg EW, Kurtz JC, Sternberg P, Reed RL, Jones DP: **Glutathione in human plasma: decline in association with aging, age-related macular degeneration, and diabetes.** *Free Radic Biol Med* 1998, **24(5)**:699-704.
42. Mackenzie B, Ahmed A, Rennie MJ: **Muscle amino acid metabolism and transport.** In *Mammalian Amino Acid Transport: Mechanisms and Control* Edited by: Kilberg MS, Haeussinger D. Plenum Press: New York; 1992:195-231.
43. Kilberg MS, Handlogten ME, Christensen HN: **Characteristics of system ASC for transport of neutral amino acids in the isolated rat hepatocyte.** *J Biol Chem* 1980, **256**:3304-3312.
44. Kilberg MS, Haeussinger D, eds: *Mammalian Amino Acid Transport* New York, Plenum; 1992.
45. Kondo T, Dale GL, Beutler E: **Glutathione transport by insideout vesicles from human erythrocytes.** *PNAS* 1980, **77**:6359-6362.
46. Lauterburg BH, Adams JD, Mitchell JR: **Hepatic glutathione homeostasis in the rat: efflux accounts for glutathione turnover.** *Hepatology* 1984, **4**:586-590.
47. Tateishi N, Higashi T, Shinya S, Naruse A, Sakamoto Y: **Studies on the regulation of glutathione level in rat liver.** *J Biochem* 1974, **75**:93-103.
48. Tateishi N, Sakamoto Y: **Nutritional significance of glutathione in rat liver.** In *Glutathione: Storage, Transport, and Turnover in Mammals* Edited by: Sakamoto Y, Higashi T, Tateishi N. Tokyo: Scientific Socoetu Press; 1983:13-38.
49. Meister A: **Glutathione.** In *The Liver: Biology and Pathobiology* 2nd edition. Edited by: Aria IM, Jakobi WB, Poppser, Shchacter D, Shafritz D. New York: Raven Press; 1998:401-417.
50. Fernandez-Checa J, Lu SC, Ookhtens M, DeLeve L, Runnegar M, Yoshida H, Saiki H, Kannan R, Garcia-Ruiz C, Kuhlenkamp JF, Kaplowitz N: **The regulation of hepatic glutathione.** In *Hepatic Anion Transport and Bile Secretion: Physiology and Pathophysiology* Edited by: Tavoloni N, Berk PD. New York: Marcel Dekker; 1992:363-395.
51. Storch KJ, Wagner DA, Burke JF, Young VR: **Quantitative study in vivo of methionine cycle in humans using [methyl-<sup>2</sup>H<sub>3</sub>]- and [1-<sup>13</sup>C]methionine.** *Am J Physiol* 1988, **255**:E322-31.
52. Finkelstein JD, Harris BJ, Martin JJ: **Methionine metabolism in mammals: Concentrations of metabolites in rat tissues. Kinetic studies of betaine:homocysteine methyltransferase.** *J Nutr* 2000, **112**:1011-1018.
53. Finkelstein JD, Martin JJ: **Methionine metabolism in mammals: Adaptation to methionine excess.** *J Biol Chem* 1986, **261**:1582-1587.
54. Corrales FJ, Perez-Mato I, Sanchez del Pino MM, Ruiz F, Castro C, Garcia-Trevijano ER, Latasa U, Martinez-Chantar ML, Martinez-Cruz A, Avila MA, Mato JM: **Regulation of mammalian liver methionine adenosyltransferase.** *J Nutr* 2002, **132**:2377S-2381S.
55. Nijhout HF, Reed MC, Ulrich CM: **Multiple and diverse mechanisms of homeostasis in a complex metabolic network.** 2007 in press.
56. Corrales FJ, Ruiz F, Mato J: **In vivo regulation by glutathione of methionine adenosyltransferase S-nitrosylation in rat liver.** *J Hepatology* 1999, **31**:887-894.
57. Pajares MA, Duran C, Corrales F, Pliego MM, Mato JM: **Modulation of Rat Liver S-Adenosylmethionine Synthetase Activity by Glutathione.** *J Biol Chem* 1992, **267**:17598-17605.
58. Epstein CJ: **Down syndrome (trisomy 221).** In *The Metabolic and Molecular Bases of Inherited Disease* 3rd edition. Edited by: Stanbury JB, Wingarden JB, Frederickson DS. New York: McGraw-Hill; 1995:749-795.
59. Krivchenia E, Hether CA, Edmonds LD, May DS, Guckenberger S: **Comparative epidemiology of Down syndrome in two United States Populations.** *Amer J Epidem* 1993, **137**:815-828.
60. Torfs CP, Christianson RE: **Anomalies in Down syndrome individuals in a large population-based registry.** *Amer J Med Gen* 1998, **77**:431-438.
61. Ianello RC, Crack PJ, de Hann JB, Kola I: **Oxidative stress and neural dysfunction in Down syndrome.** *J Neural Transm* 1999, **57**:257-267.
62. Lord C, Risi S, Lambrecht L, Cook EH Jr, Leventhal BL, DiLavore PC, Pickles A, Rutter M: **The autism diagnostic observation schedule-generic: A standard measure of social and communication deficits associated with the spectrum of autism.** *J Autism Dev Disord* 2000, **30**:205-223.
63. CDC 2005 [<http://medicalhomeinfo.org/health/autism%20downloads/AutismAlarm.pdf>].
64. London EA: **The environment as an etiologic factor in autism: a new direction for research.** *Eviron Health Perspec* 2000, **108(suppl)**:401-404.
65. Folstein SE, Rosen-Sheidley B: **Genetics of autism: complex aetiology for a heterogeneous disorder.** *Nature Rev Genet* 2001, **2**:943-955.
66. Muhley R, Trentacoste SV, Rapin I: **The genetics of autism.** *Pediatr* 2004, **113**:e472-e486.
67. Zimmerman AW, Jyonouchi H, Comi AM, Connors SL, Milstien S, Varsou A, Heyes MP: **Cerebrospinal fluid and serum markers of inflammation in autism.** *Pediatr Neurol* 2005, **33**:195-201.
68. Horvath K, Perman JK: **Autistic disorder and gastrointestinal disease.** *Curr Opin Pediatr* 2002, **14**:583-587.
69. Stubbs G, Litt M, Lis E: **Adenosine deaminase activity decreased in autism.** *J Am Acad Child Psych* 1982, **21**:71-74.
70. Decking UK, Schlieper G, Kroll K, Schrader J: **Hypoxia-induced inhibition of adenosine kinase potentiates cardiac adenosine release.** *Circ Res* 1997, **81**:154-164.

71. Chen YF, Li PL, Zou AP: **Oxidative stress enhances the production and actions of adenosine in the kidney.** *Am J Physiol Regul Integr Comp* 2001, **281**:R1808-16.
72. Melnyk S, Jernigan S, Savenka S, James SJ: **Elevation in S-adenosylhomocysteine and DNA hypomethylation in parents and children with autism.** *FASEB J* 2007, **21**:A348.
73. Ming X, Cheh MA, Yochum CL, Halladay AK, Wagner GC: **Evidence of oxidative stress in autism derived from animal models.** *Amer J Biochem Biotech* 2008, **4**:218-225.
74. Chien PFW, Smith K, Peter WW, Scrimgeour CM, Talor DJ, Rennie MJ: **Protein turnover in the human fetus studied a term using stable isotope tracer amino acids.** *Am J Physiol* 1993, **265**:E31-E35.
75. FAO/WHO/UNU: *Energy and protein requirements* Geneva: WHO; 1985.
76. Waterlow JC: **Whole-body protein turnover in humans – past, present, and future.** *Ann Rev Nutr* 1995, **15**:57-92.